

**APENDICE
DE
ILUSTRACIONES**

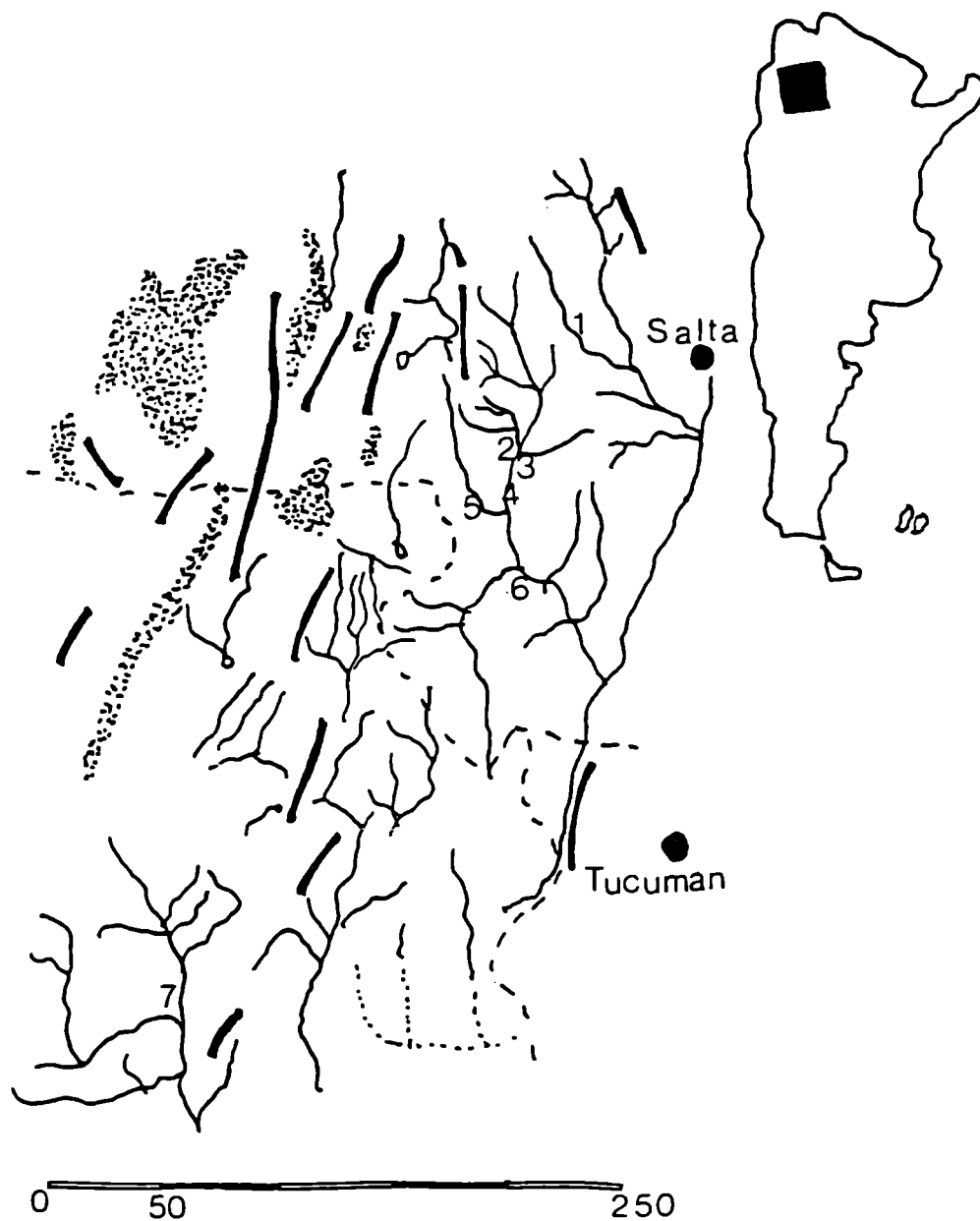
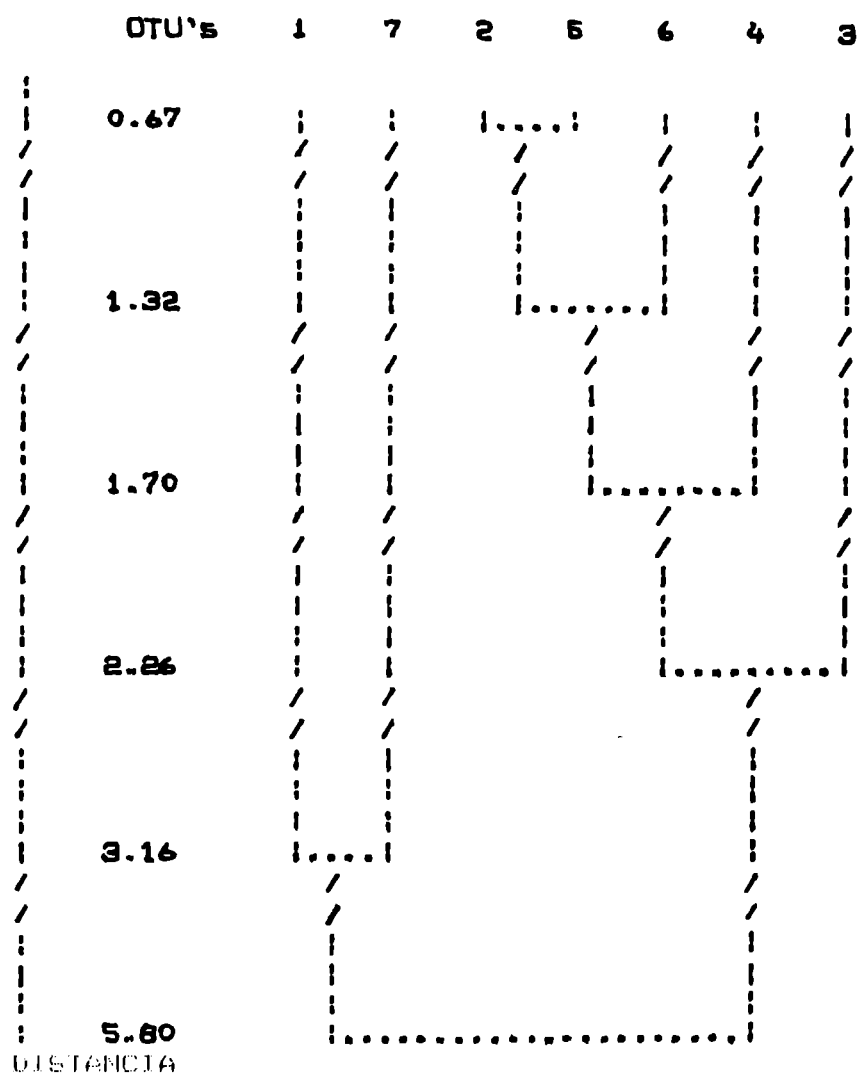


FIGURA 1. UBICACION GEOGRAFICA DE LAS COLECCIONES.

1 -Santa Rosa de Tastil, 2 -La Poma, 3 -Payogasta, 4 -Fuerte Alto-Cachi, 5 -La Paya, 6 -Luracatao-Tacuil, 7 -Belén.



Nº de grupo	Nombre del grupo
1	Sta. Rosa de Tasil
2	La Poma
3	Payogasta
4	Fuerte Alto-Cachi
5	La Paya
6	Luracatao-Tecuil
7	Helén

FIGURA 2. DENDROGRAMA RESULTANTE DEL ANALISIS DE CONGLOMERADOS APLICADO A LA MATRIZ DE INTERDISTANCIAS.

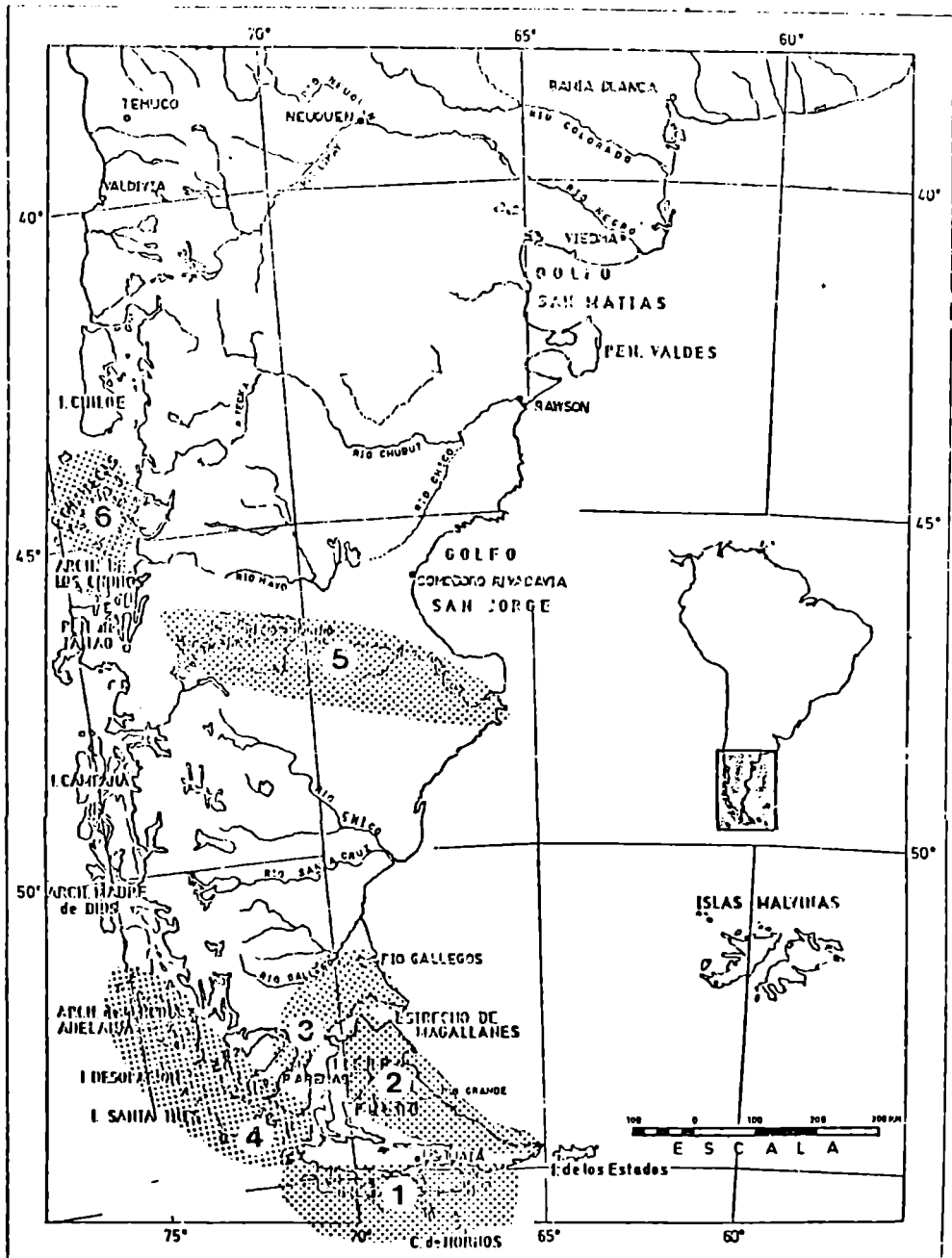


FIGURA 1. MAPA CON LA UBICACION DE LAS DIFERENTES COLECCIONES

- 1 - Canal de Beagle, 2 - Isla Grande, 3 - San Gregorio, 4 - Última Esperanza - Magallanes, 5 - Río Deseado, 6 - Archipiélago Guaitecas.

925

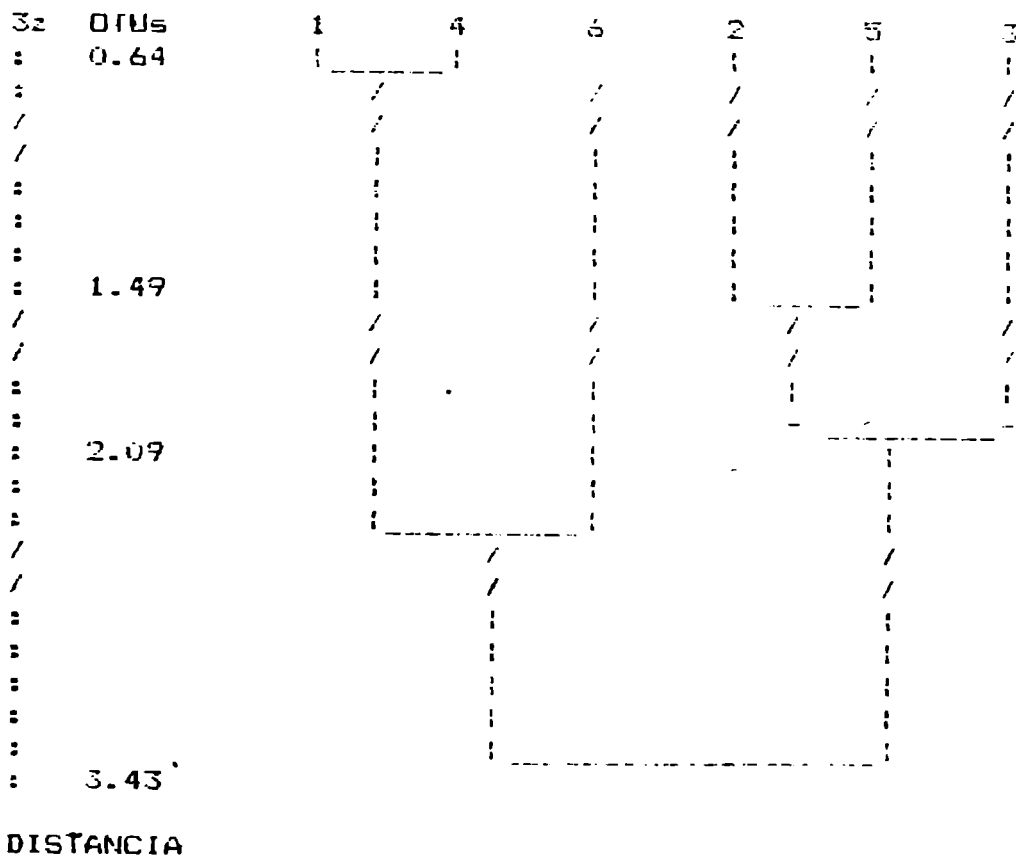


FIGURA 2. DENDROGRAMA PARA REPRESENTAR LOS RESULTADOS DEL ANALISIS DE CON-
GLOMERADOS
1 - Canal de Beagle, 2 - Isla Grande, 3 - San Gregorio, 4 - Ultima Esperanza - Magallanes, 5 - Río
Deseado, 6 - Archipiélago Guaitecas.

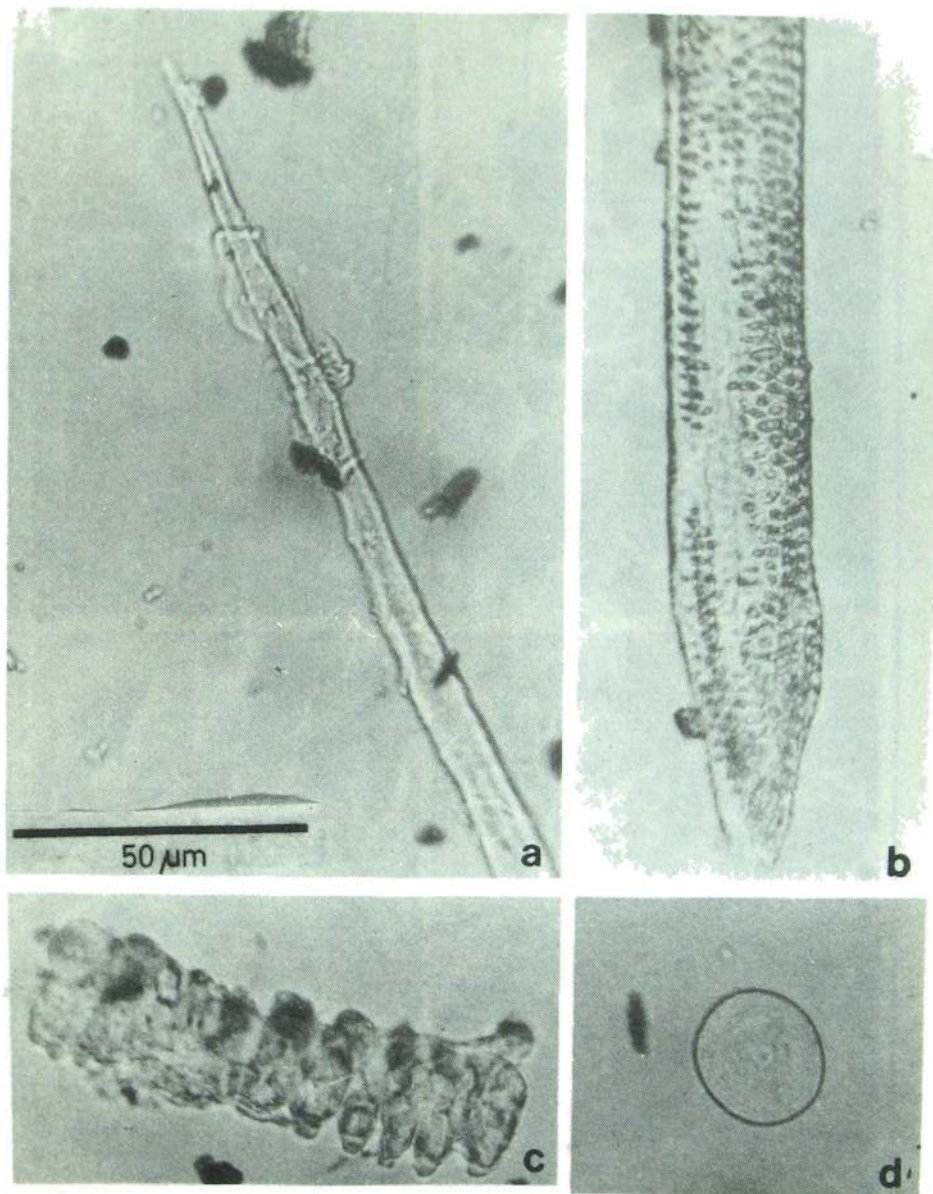


FIGURA 1

a) Fibra donde se observa el extremo aguzado y el lumen ancho.

b) Elemento del vaso con puntuaciones areoladas.

c) Célula epidérmica de Gramíneas.

d) Grano de almidón de *Zea mays*.

Escala de a) para b), c) y d).

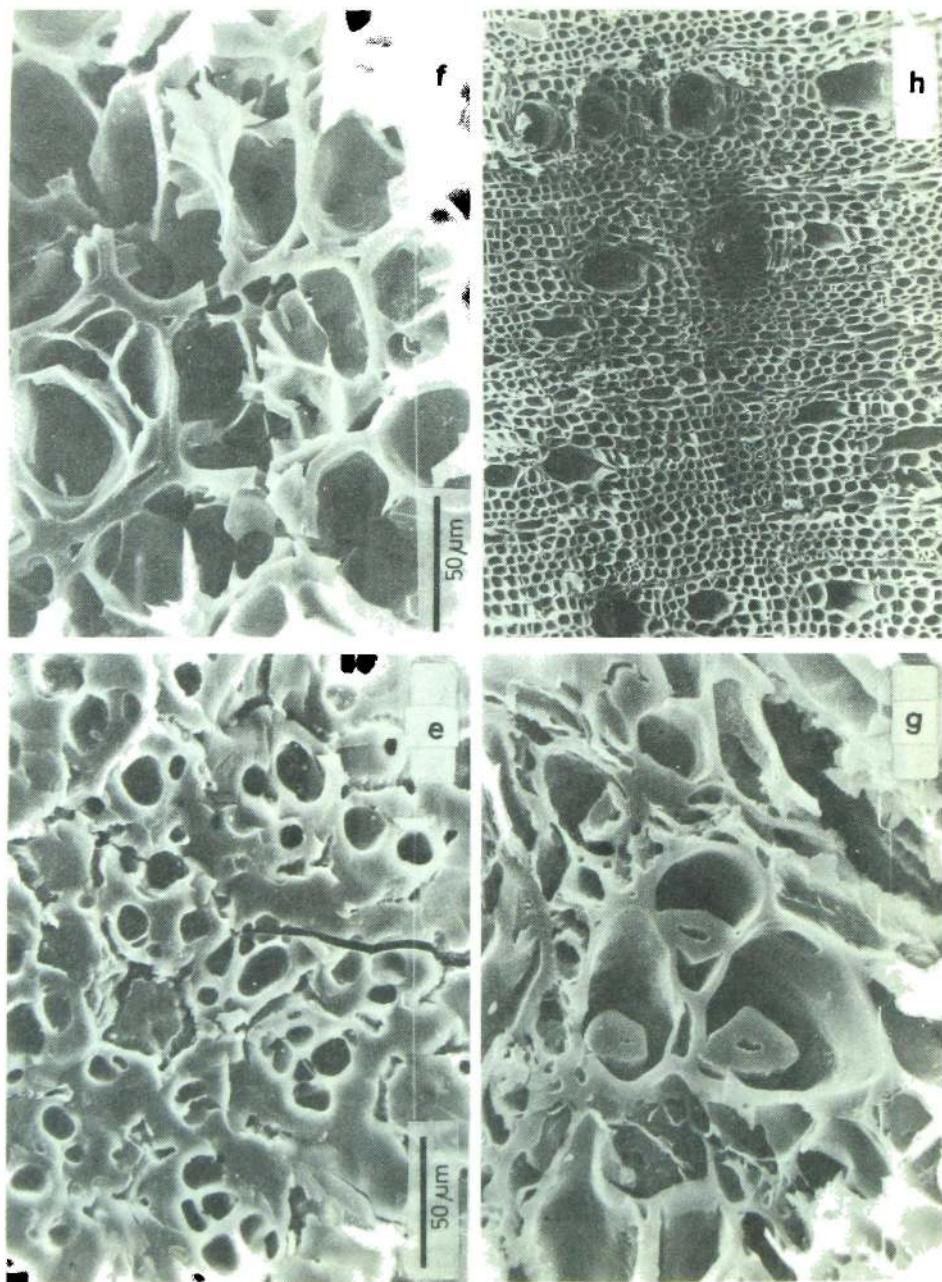


FIGURA 2

- e) Células con improntas de los granos de almidón en cotiledón de *Phaseolus vulgaris ssp. aborigineus*.
- f) Idem en cotiledón de *Phaseolus vulgaris ssp. vulgaris*.
- g) Sección transversal de fibras donde se observan restos de la pared celular y lumen.
- h) Corte transversal de madera.



Figura 1: Ubicación de las localidades mencionadas en el texto.

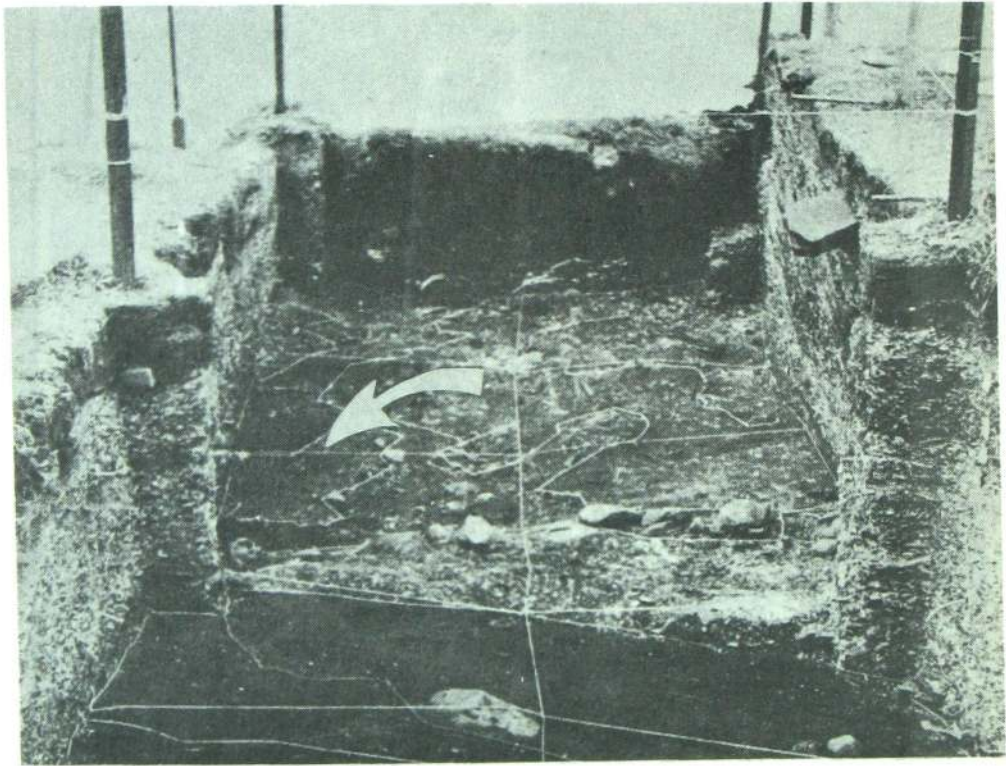


Figura 2: Sitio Túnel I: depresión interna de la capa D (cuadrícula XIV) producida durante la formación del conchal como consecuencia de la forma de depositación de las subunidades.

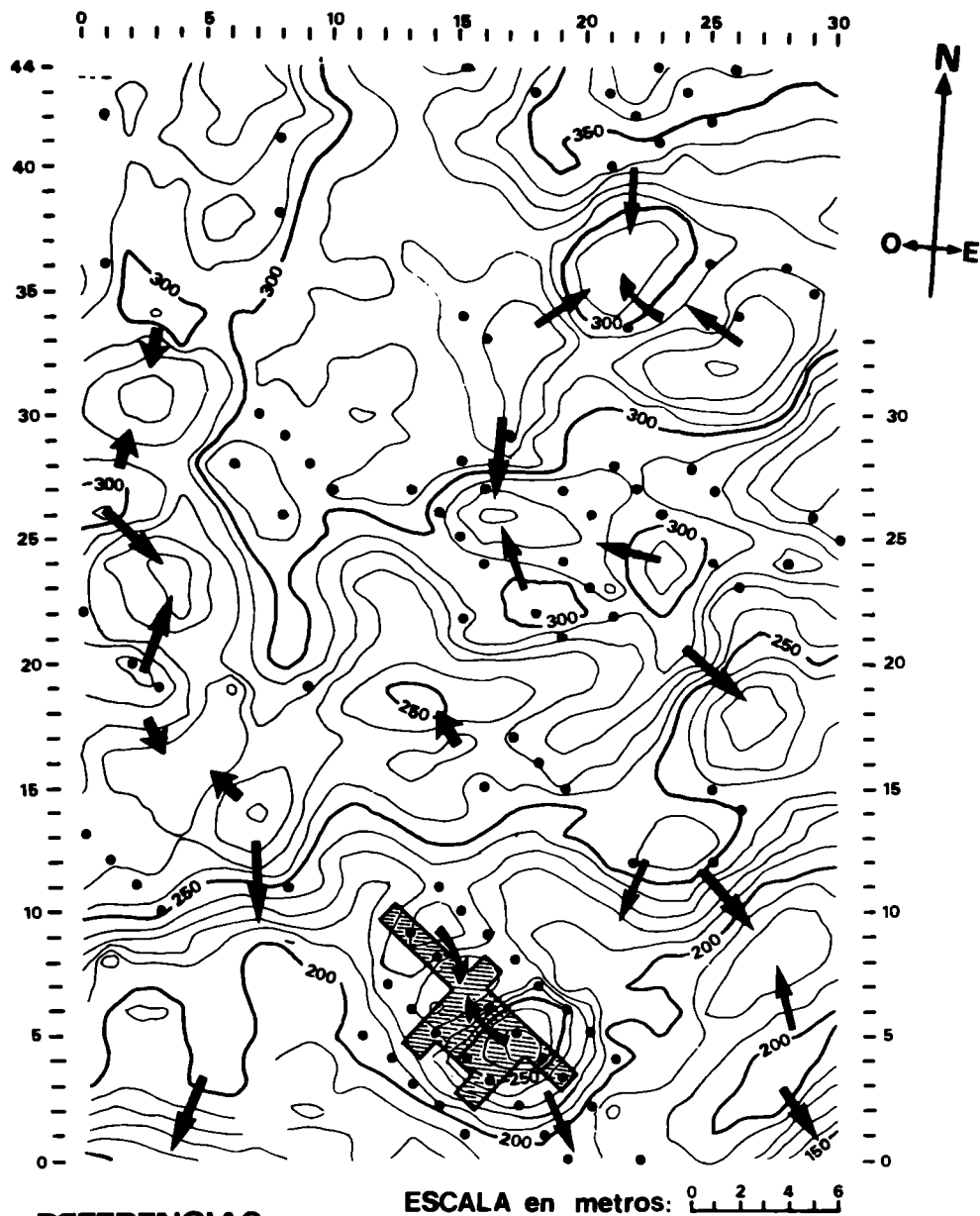
L. A. Orquera y E. L. Piana, "La formación de los montículos arqueológicos de la región del canal Beagle".



Figura 4: Sitio Shamakush I: montículos anulares.



Figura 5: Montículo en forma de domo, aislado (Harberton: sitio Manakatush).



REFERENCIAS:



Curvas de nivel. Equidistancia: 10 cm. Las cifras indican alturas sobre el nivel actual de las mareas altas. Las flechas indican la dirección de la pendiente.

Ubicación de los sondeos con barrenos en los que se halló conchal subyacente.



Superficie excavada en 1985 y 1986.

Figura 6: Sitio Shamakush X: plano altimétrico y ubicación de la excavación.

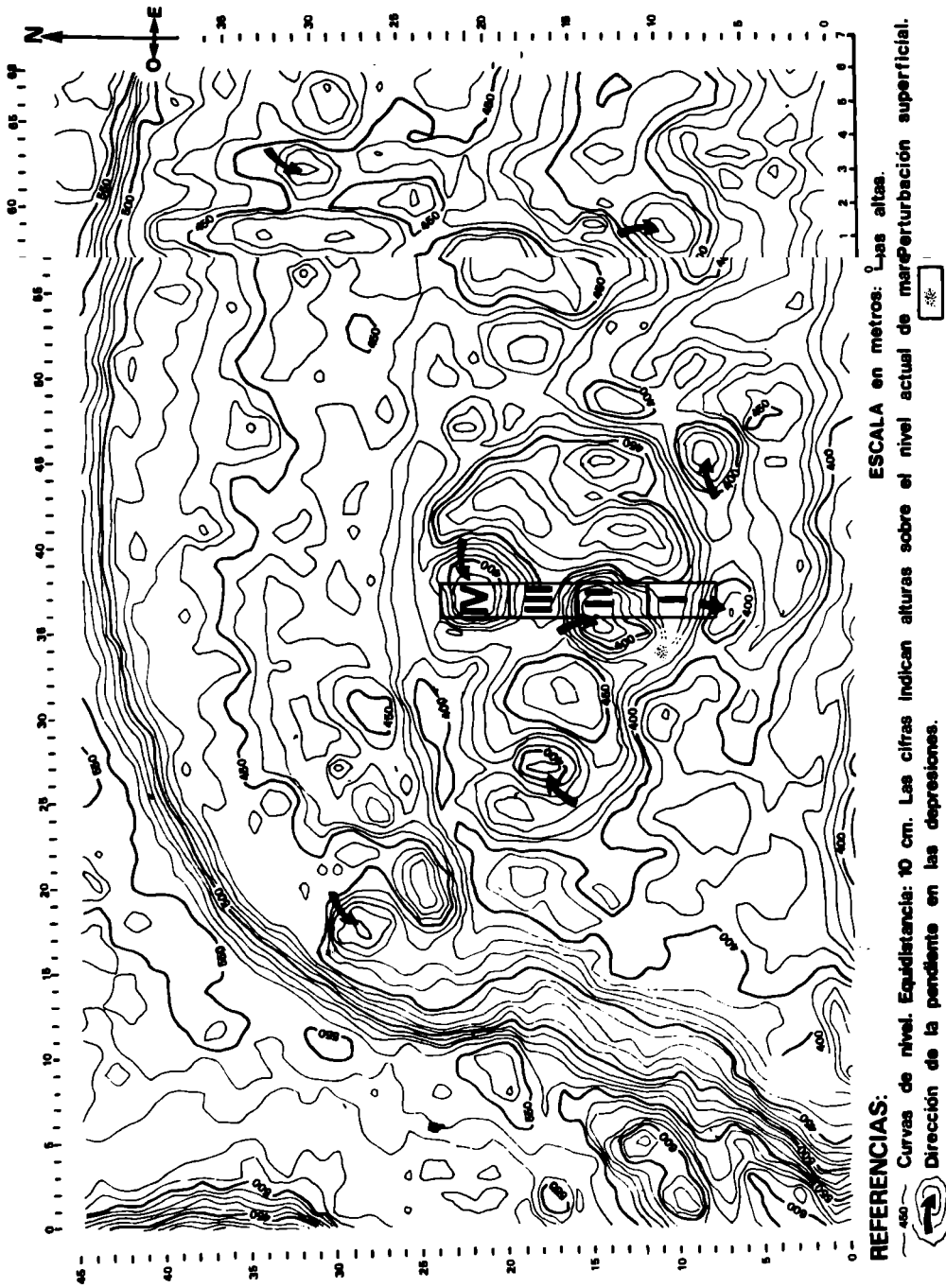


Figura 7: Sitio Shamakush I: plano altimétrico y ubicación de la excavación. 6n.

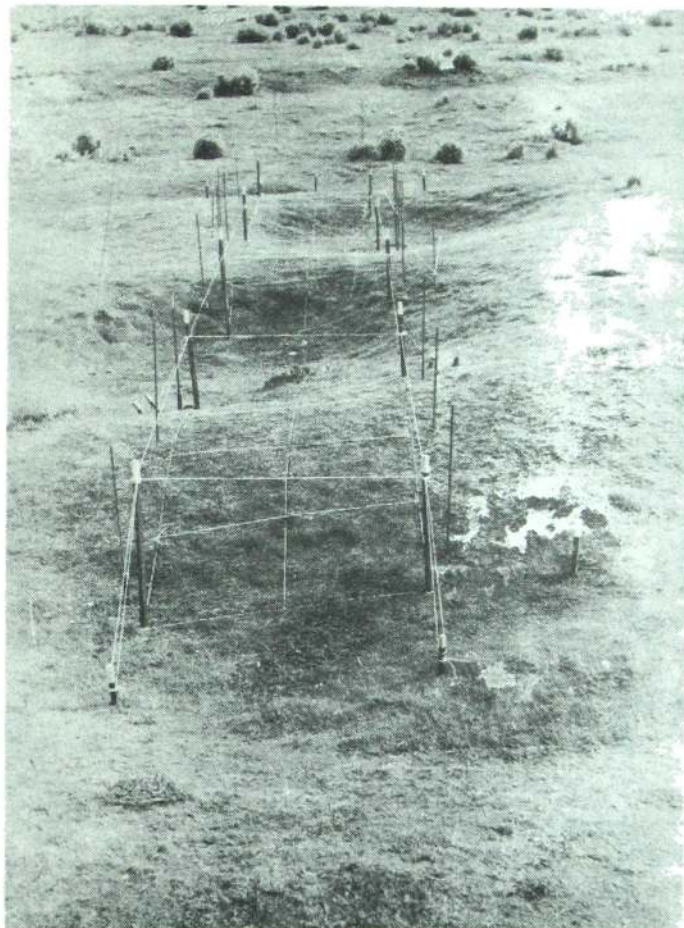


Figura 8: Sitio Shamakush I: planteamiento de la excavación en relación con montículos y depresiones, vista en dirección sur-norte. En primer plano: cuadrícula I.

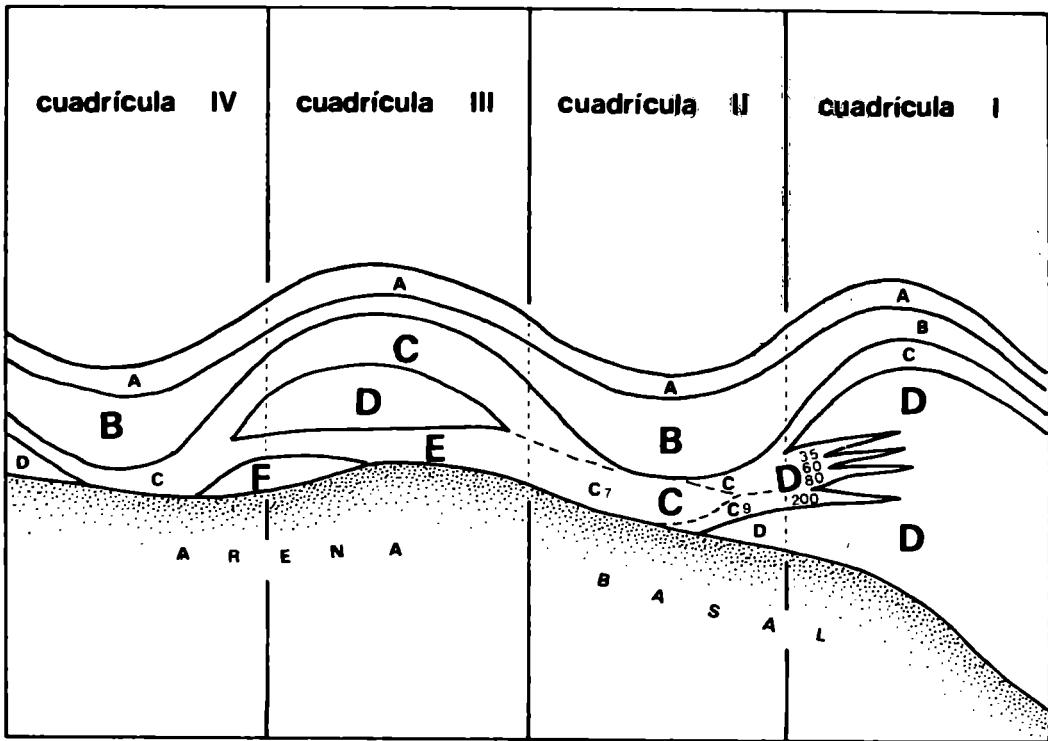


Figura 9: Sitio Shamakush I: corte estratigráfico ideal, mostrando la interdigitación de las capas. A los fines didácticos, este corte combina los perfiles reales oriental y occidental de la excavación.

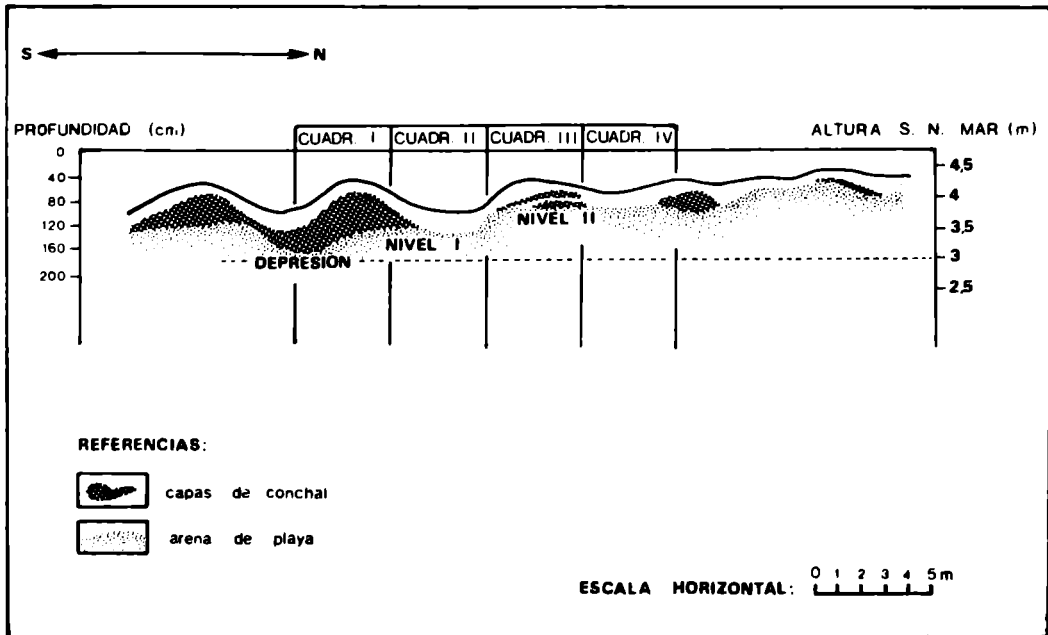


Figura 10: Sitio Shamakush I: relación de montículos y depresiones con la superficie de paleoplaya subyacente.

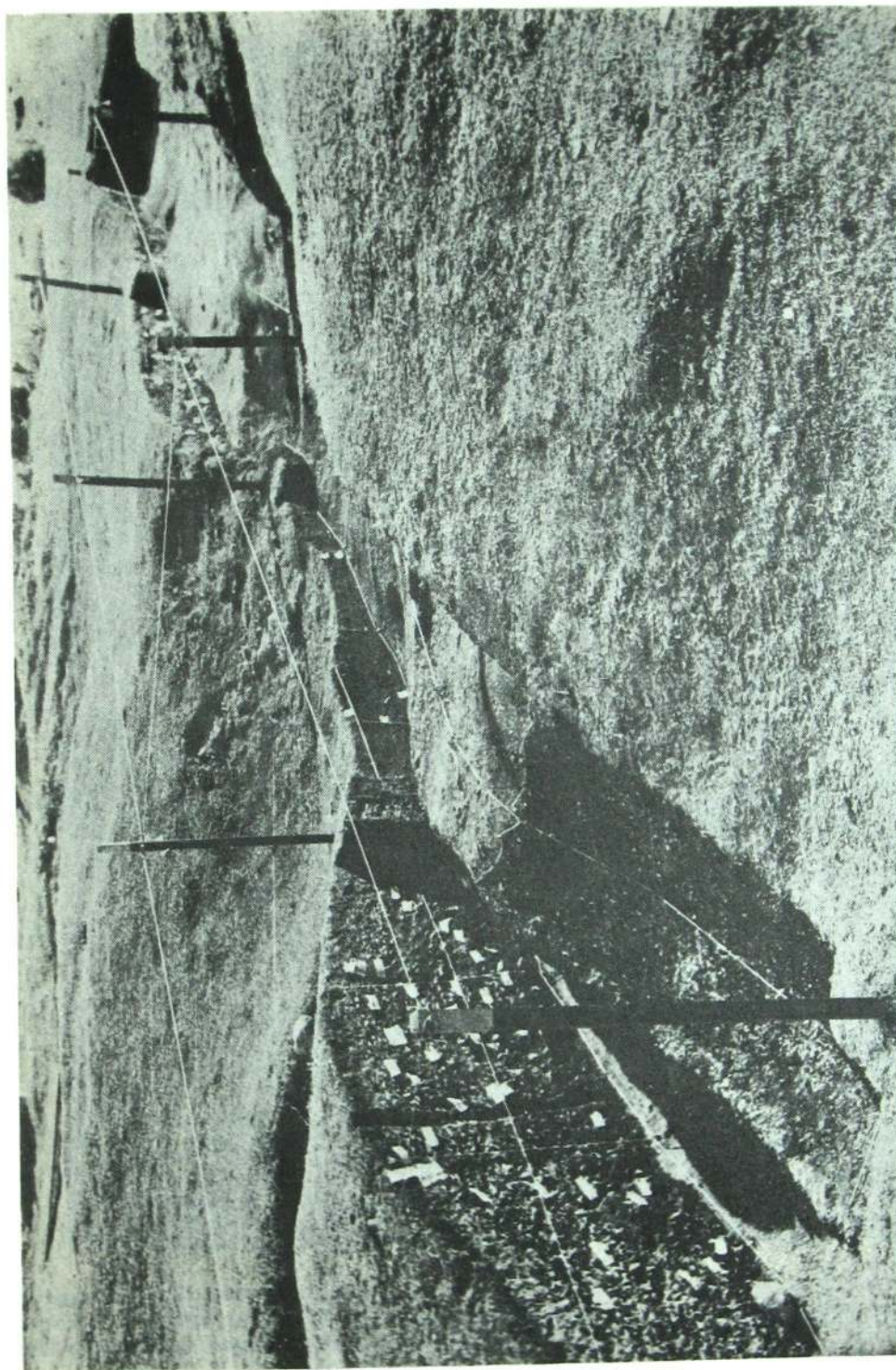


Figura 11: Sitio Shamakush I: fotografía final de excavación. Nótese las superficies planas de arena sobre las que apoyan los montículos.

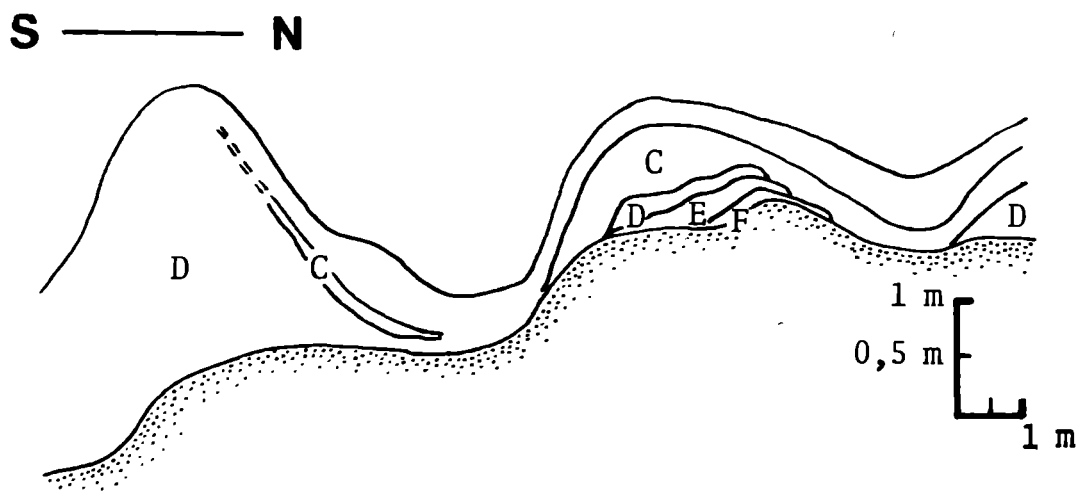


Figura 12: Sitio Shamakush I: corte simplificado de la pared oeste de la excavación, mostrando el progresivo avance hacia el sur de las unidades F a C de la cuadrícula III que sugiere que la depresión septentrional había estado ocupada más tardíamente que la incluida en la cuadrícula II.

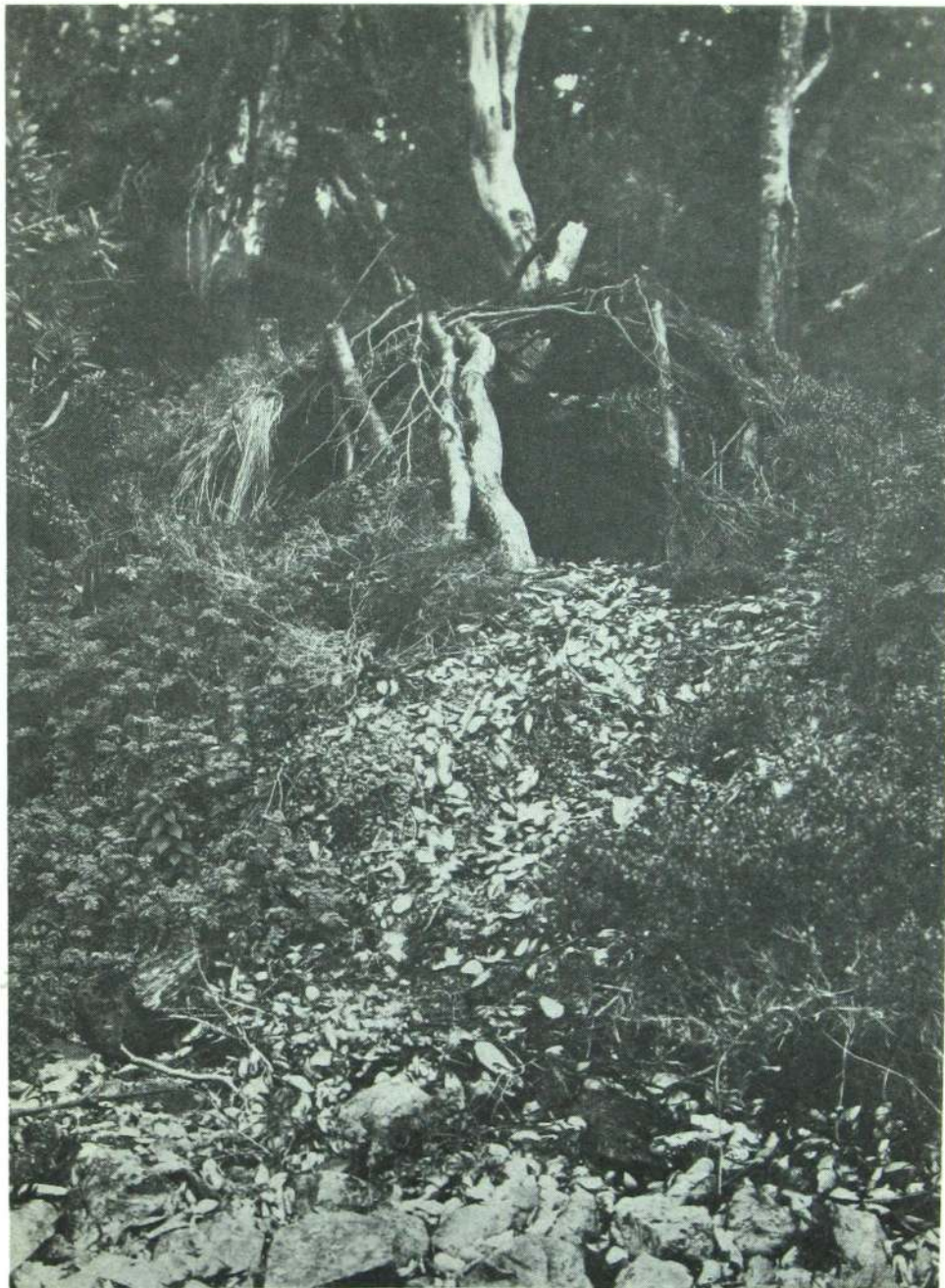


Figura 13: Cabaña indígena abandonada, con acumulación de desperdicios alrededor de su entrada. Fotografía tomada en la bahía Orange por la Mission Scientifique du Cap Horn en 1882 ó 1883 (reproducida con autorización del Musée de l'Homme de París, Francia).

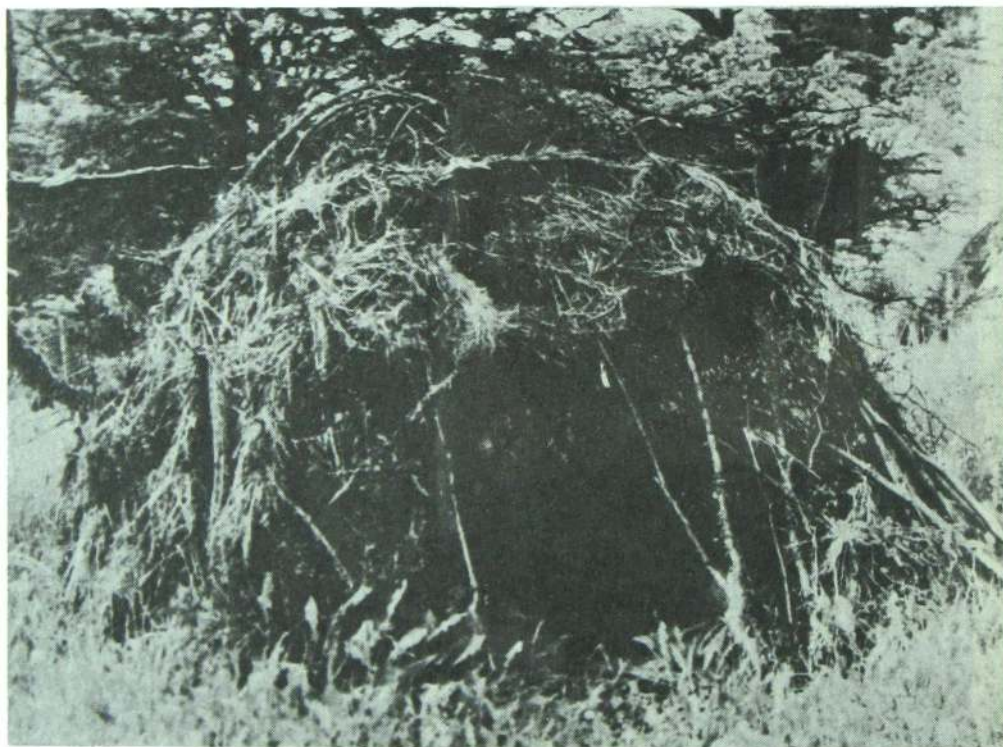
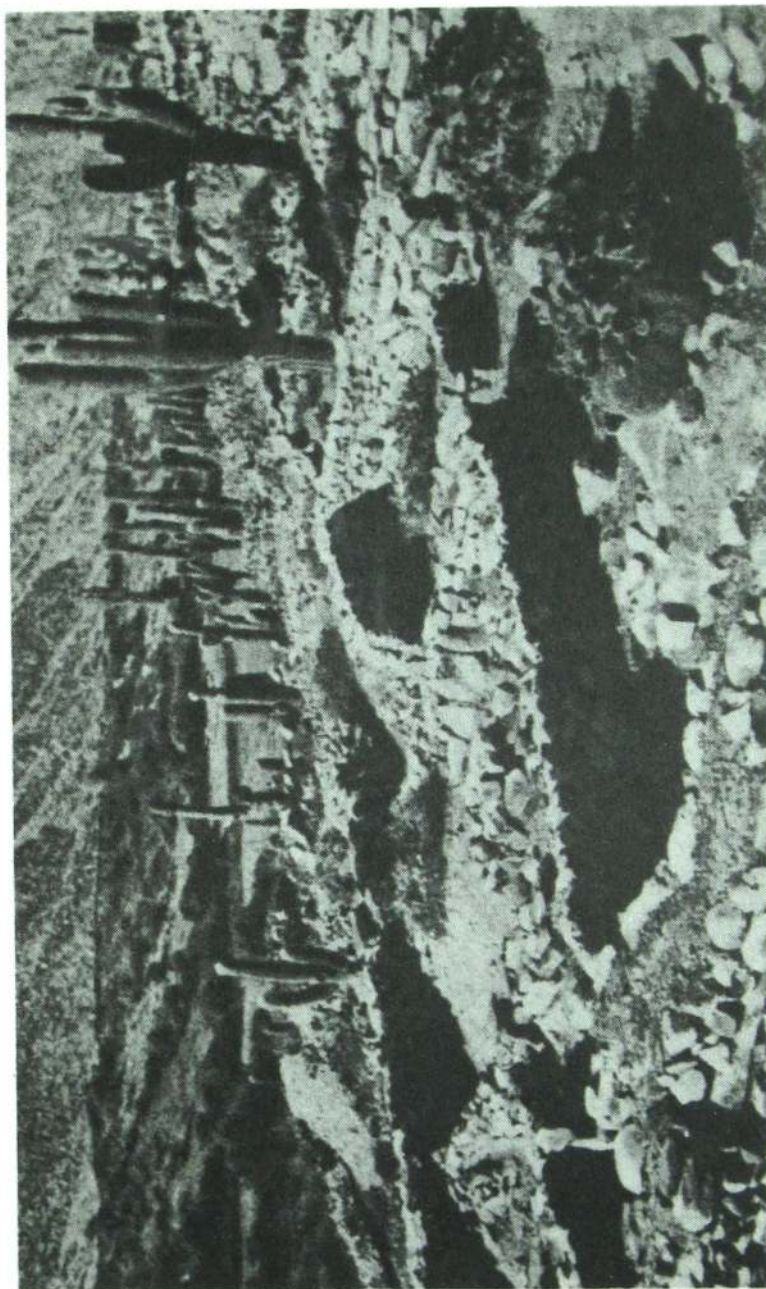
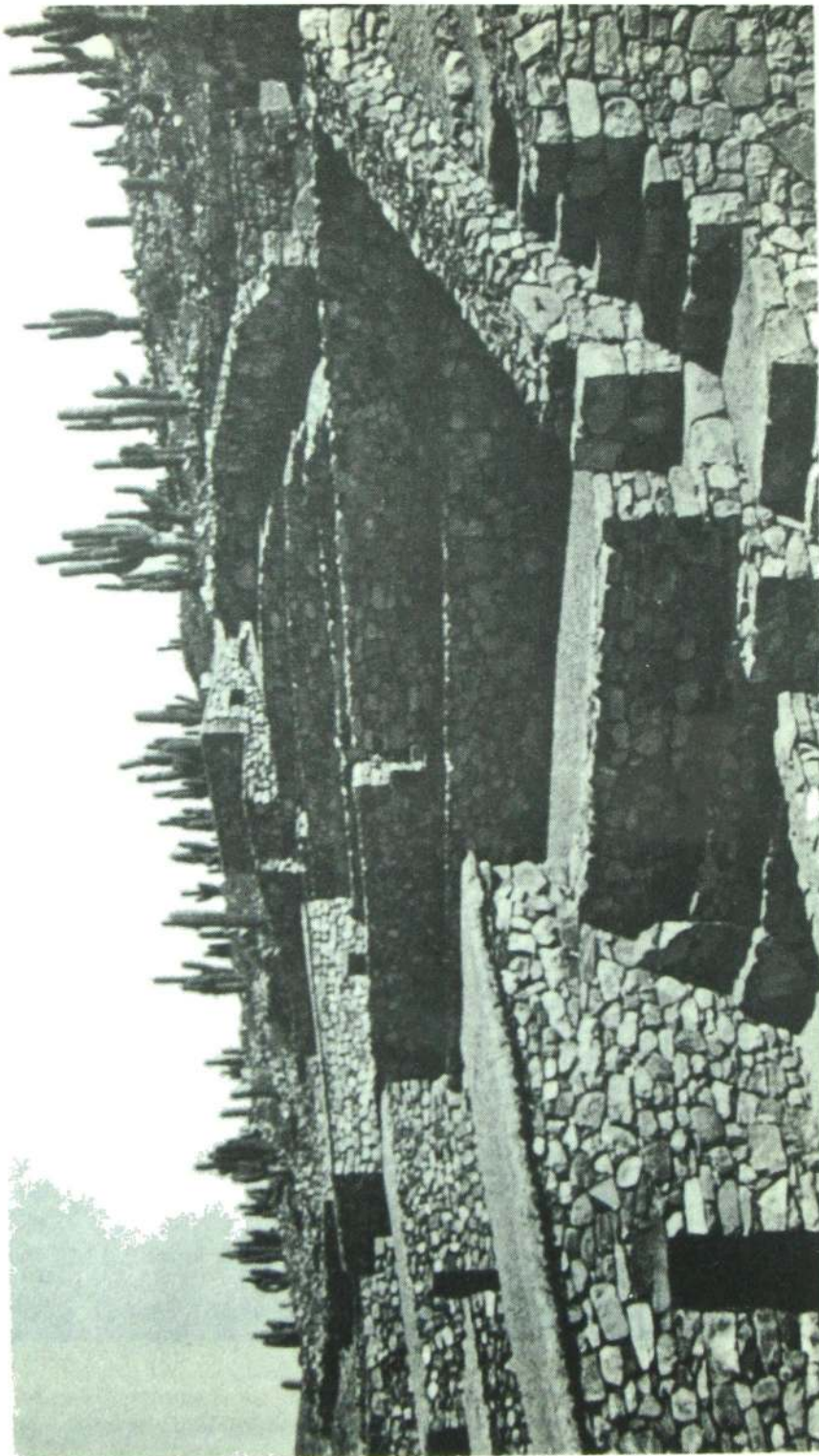


Figura 14: Réplica de cabaña indígena: estado de conservación tres años después de su construcción.

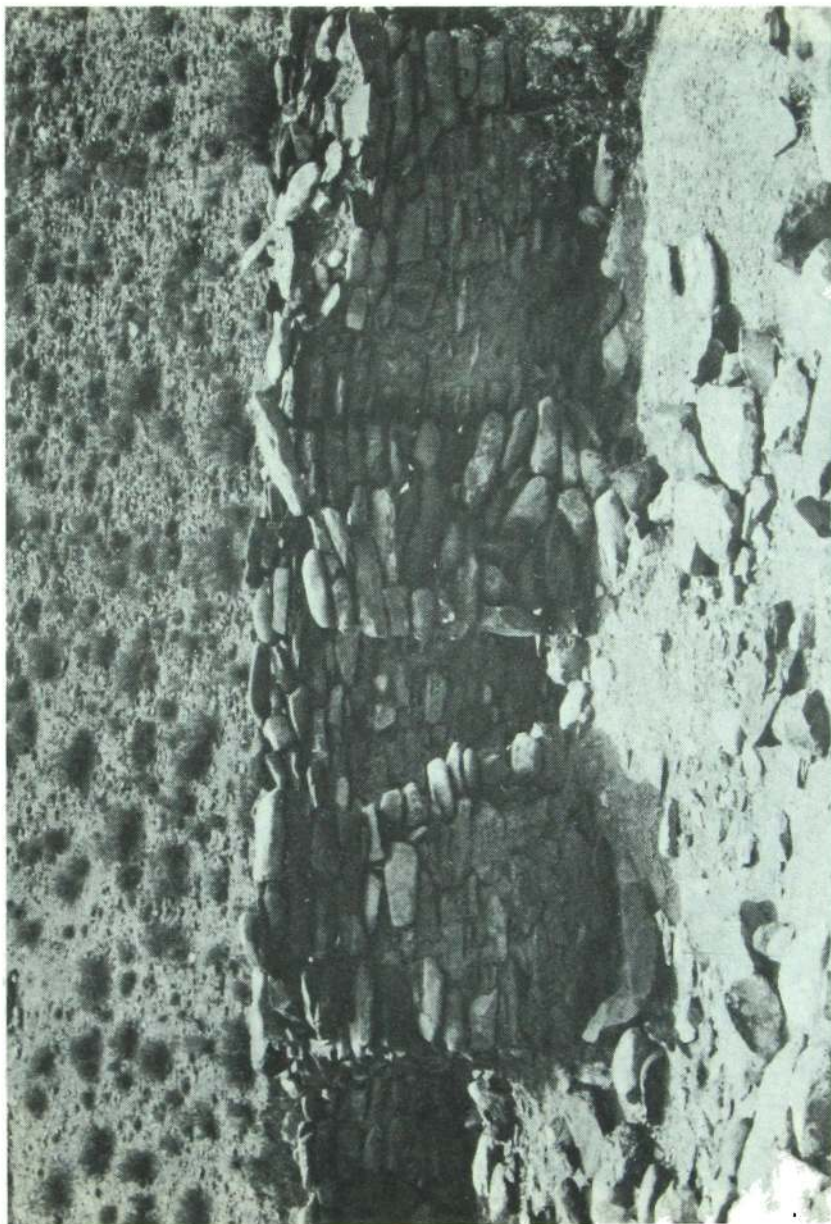


Tilcara en 1910: vista de los primeros trabajos de restauración del país.

D. Scávelzon, "La restauración de arquitectura prehispánica en la Argentina. Notas para su historia".



El mismo sector tras haber sido reconstruido por Eduardo Casanova en 1951, sin bases científicas.

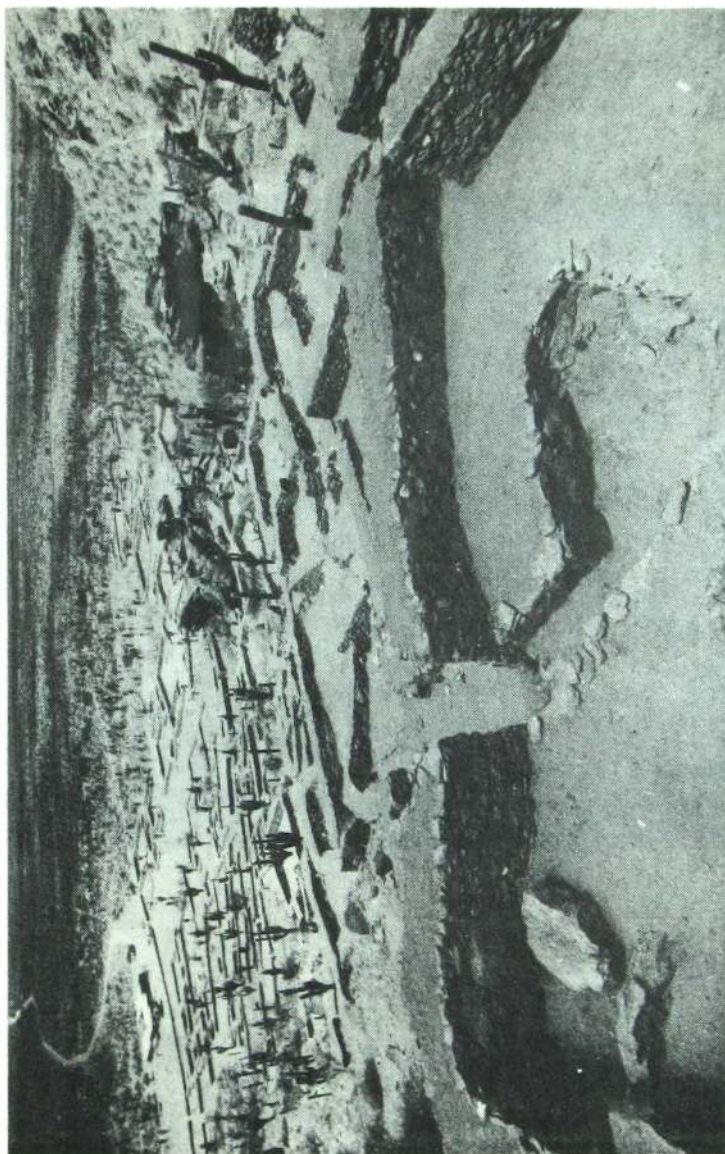


Ranchillos, Mendoza: sector restaurado en 1939 que incluyó la re colocación de las piedras caídas sobre los muros. Hoy es imposible entender los sistemas constructivos y otros detalles por la falta de un relevamiento previo. Obsérvese la reducción de la puerta hecha sin tierra: ¿original, nueva o buena restauración?



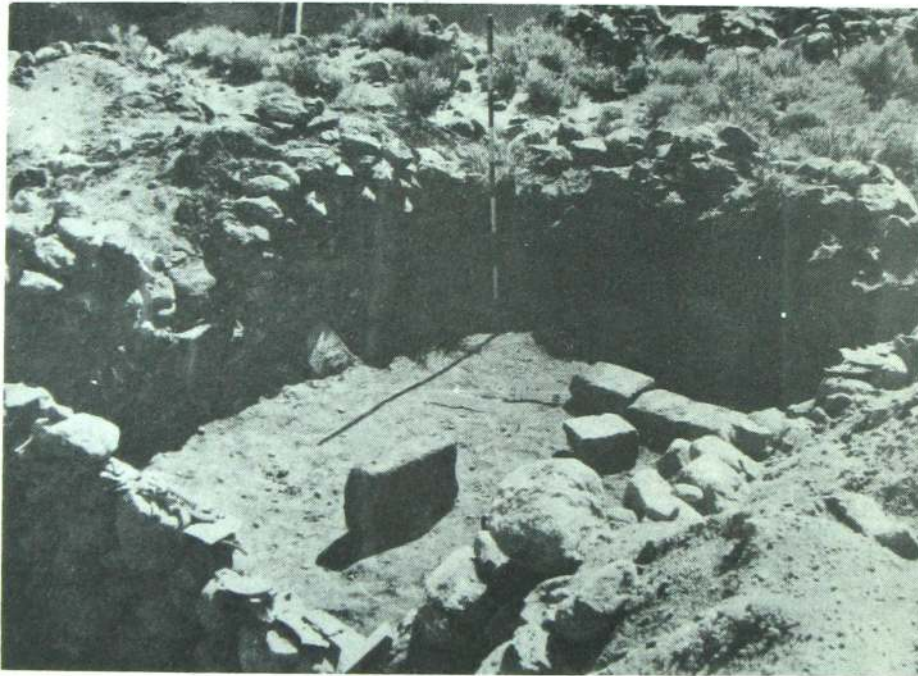
Vista general de las restauraciones de Quilmes: se procedió a una reconstrucción arbitraria, dándole a todos los muros la misma altura, sin excavación previa.

D. Schávelzon, "La restauración de arquitectura prehispánica en la Argentina. Notas para su historia".



Otro de los sectores reconstruidos en Quilmes sin bases científicas ni un proyecto previo ajustado a las normas internacionales en la materia.

D. Schávelzon, "La restauración de arquitectura prehispánica en la Argentina. Notas para su historia".



Doncellas en 1973: un recinto excavado hasta el borde de los muros y cimientos; y arrojando la tierra y piedras tras las paredes, sentenciando a muerte el edificio y haciendo imposible su posterior restauración.

M. A. Berón, "Las ocupaciones tardías del área Casa de Piedra. Provincias de La Pampa y Río Negro".

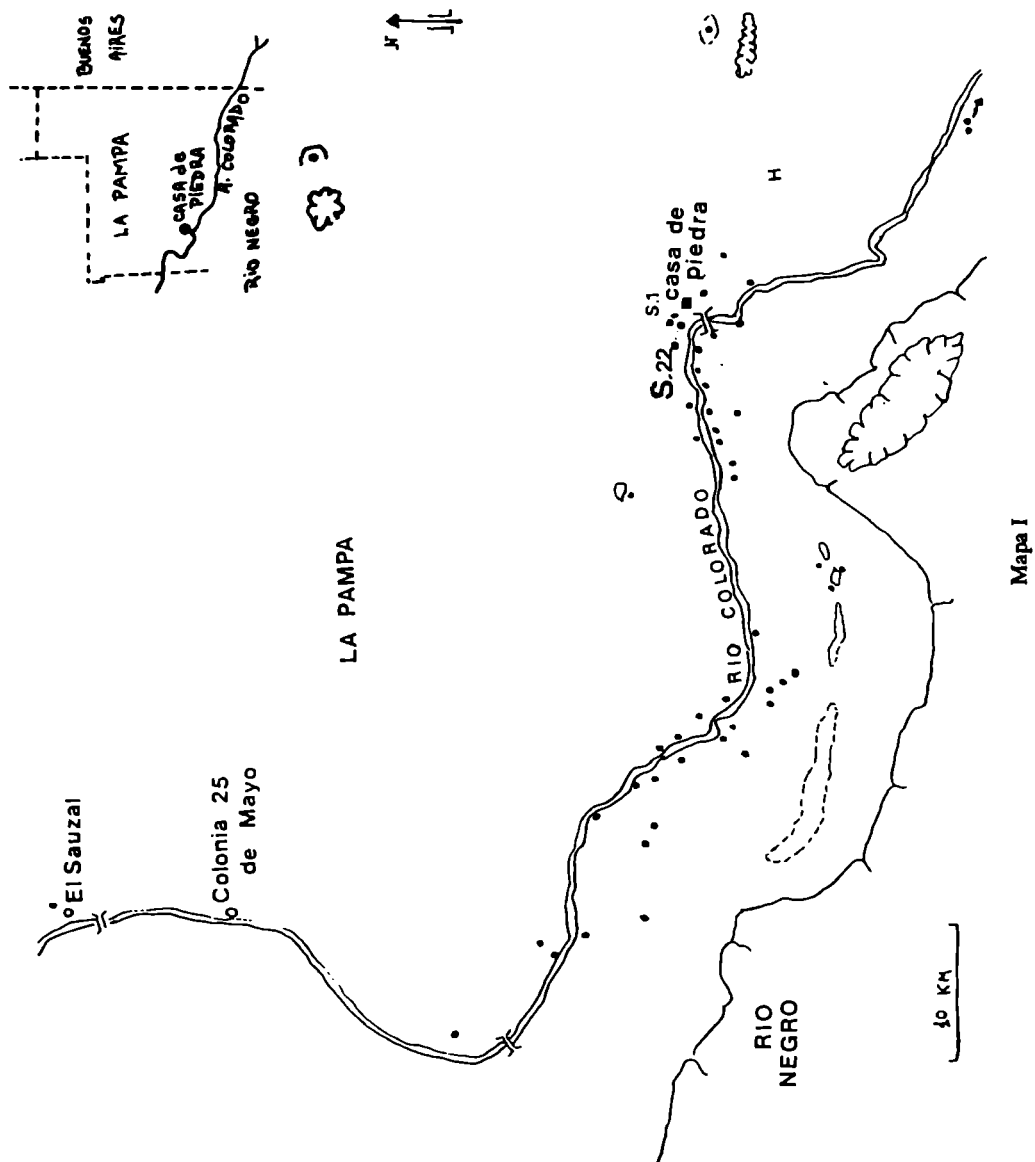




FOTO N° 1: Fragmento de borde, Grupo "H"
Sitio N° 22 - "Rinconada Giles"
Corresponde a un diámetro de boca de 260 mm.



FOTO N° 2: Sitio "Puesto Rosales". Vasija completa recolectada por los pobladores del lugar

GRUPO "K"

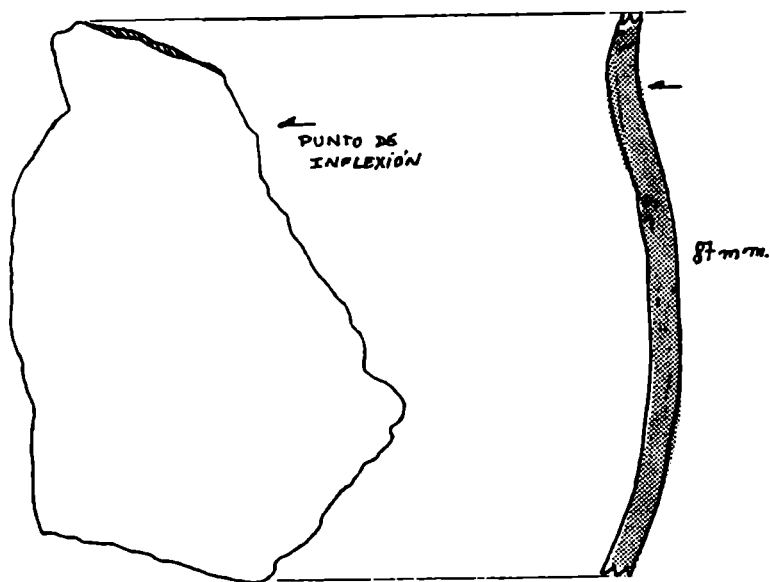
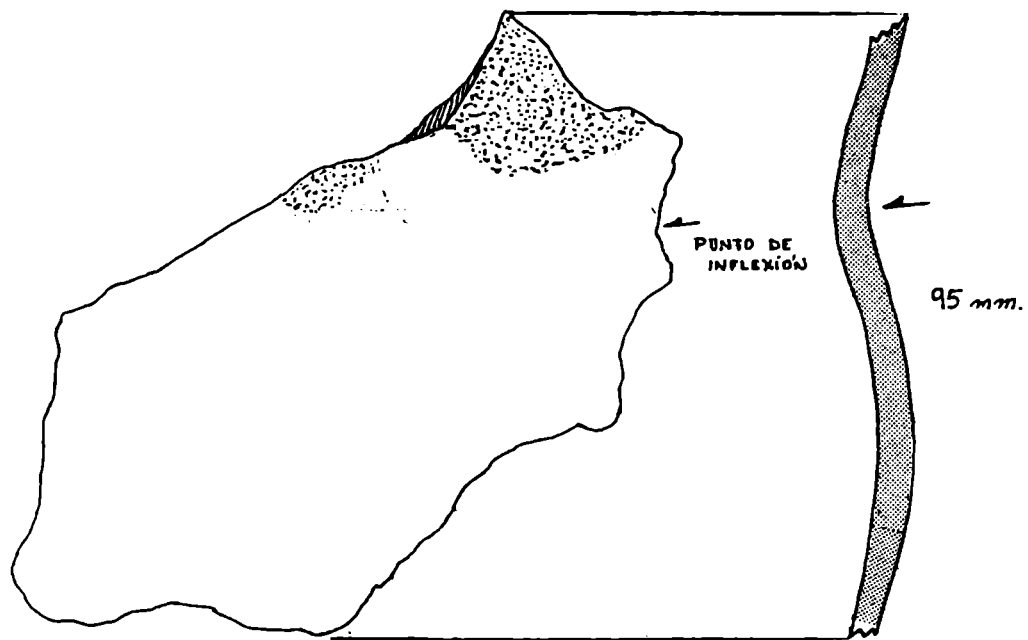
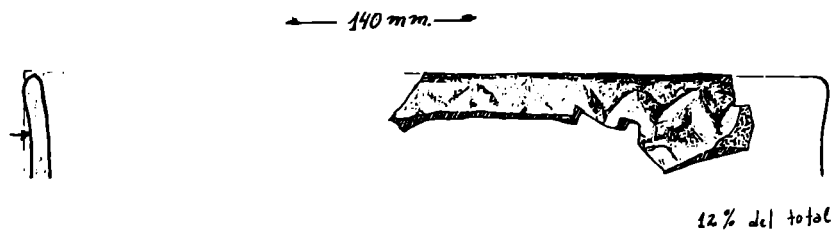


Lámina I

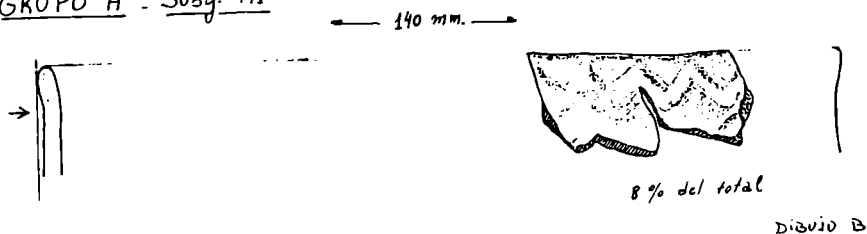
GRUPO "H" - SUBGRUPO 'H1'

Dibujo a.



Dibujo: X. GARDUÑO

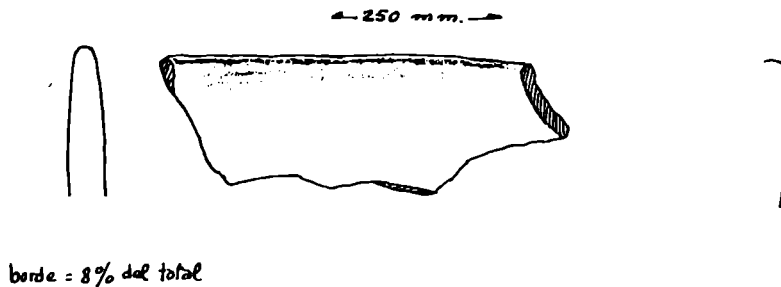
GRUPO "H" - Subg. 'H1'



Dibujo B

Dibujo: M. BERÓN

GRUPO "M"



Dibujo: M. BERÓN

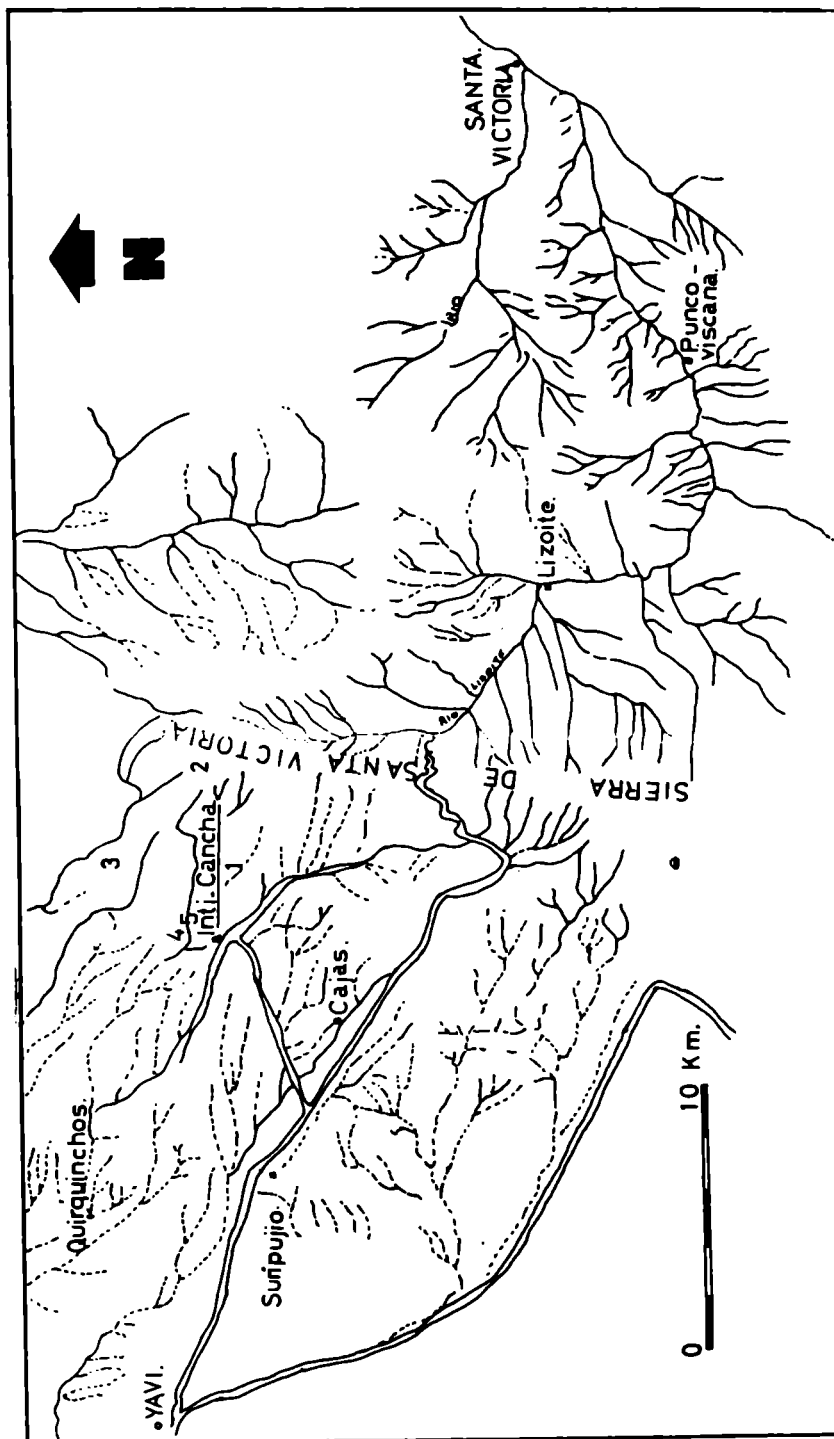


Fig. 1: Ubicación geográfica de Inti-Cancha y de las localidades cercanas: 1: vivienda de la alfarera, 2: depósito de material antiplástico, 3: depósito de arcilla, 4: instalación arqueológica, 5: depósito de material para pigmentos.

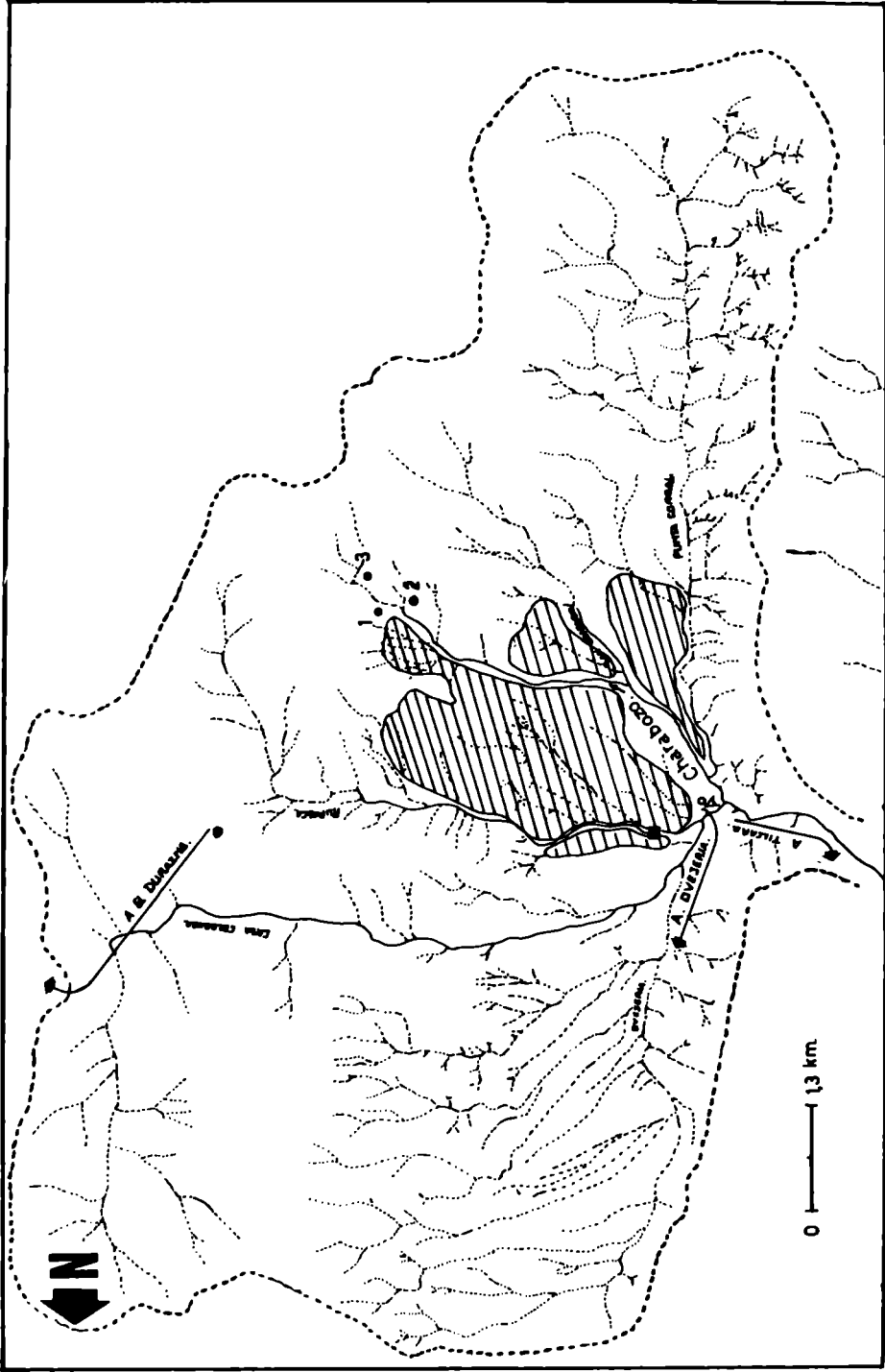
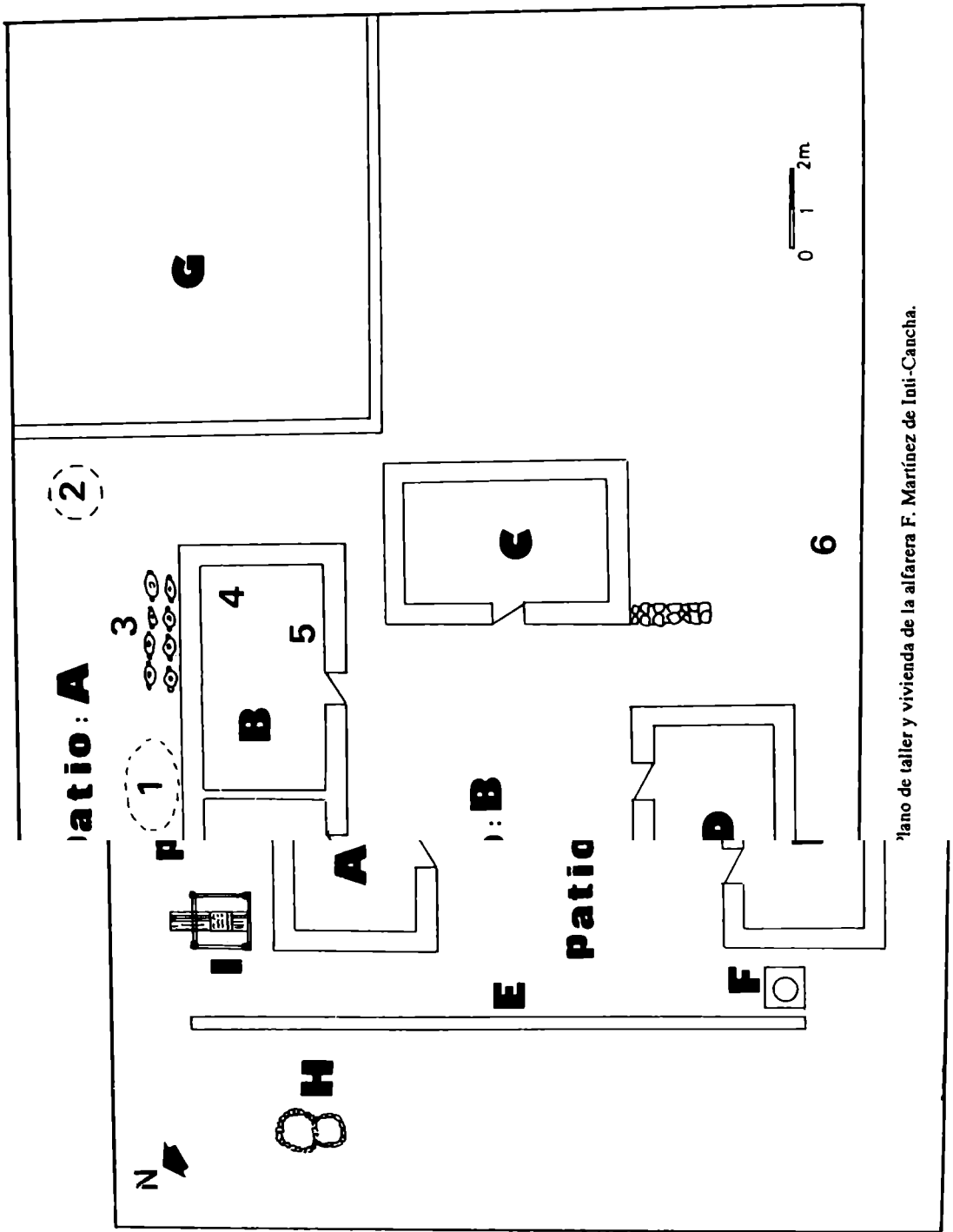


Fig. 2. Ubicación geográfica de Charabozo; 1: vivienda de la alfarera, 2: depósito de pirca roja, 3: depósito de pirca plateada, 4: depósito de arcilla, 5: Escuela Provincial N° 352 de Alfarcito, 6: Construcciones agrícolas pre-hispánicas.



Plano de taller y vivienda de la alfarera F. Martínez de Inti-Cancha.

Fig. 3. I

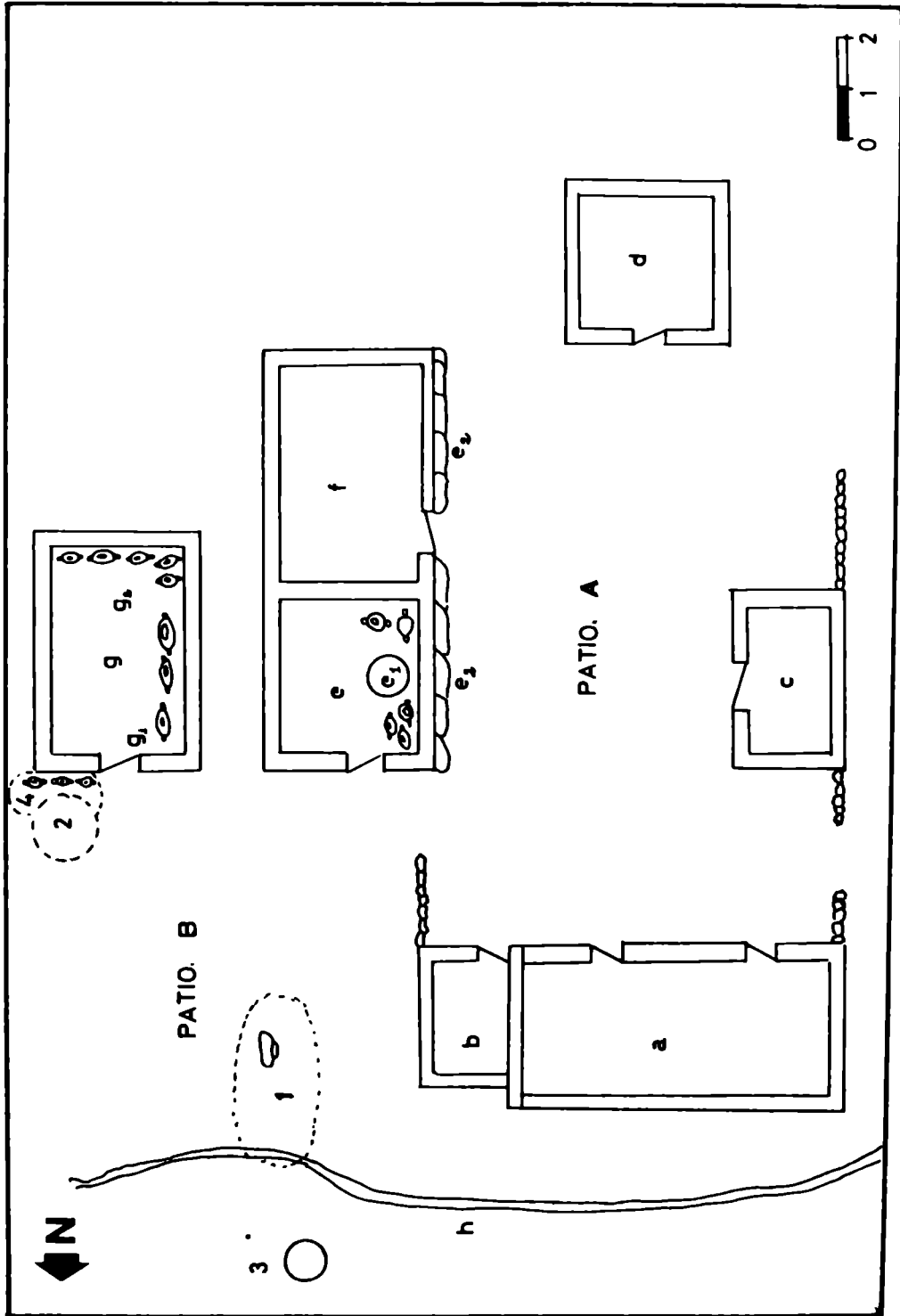


Fig. 4. Plano del taller y vivienda de la alfarera J. Pérez de Charabozo.

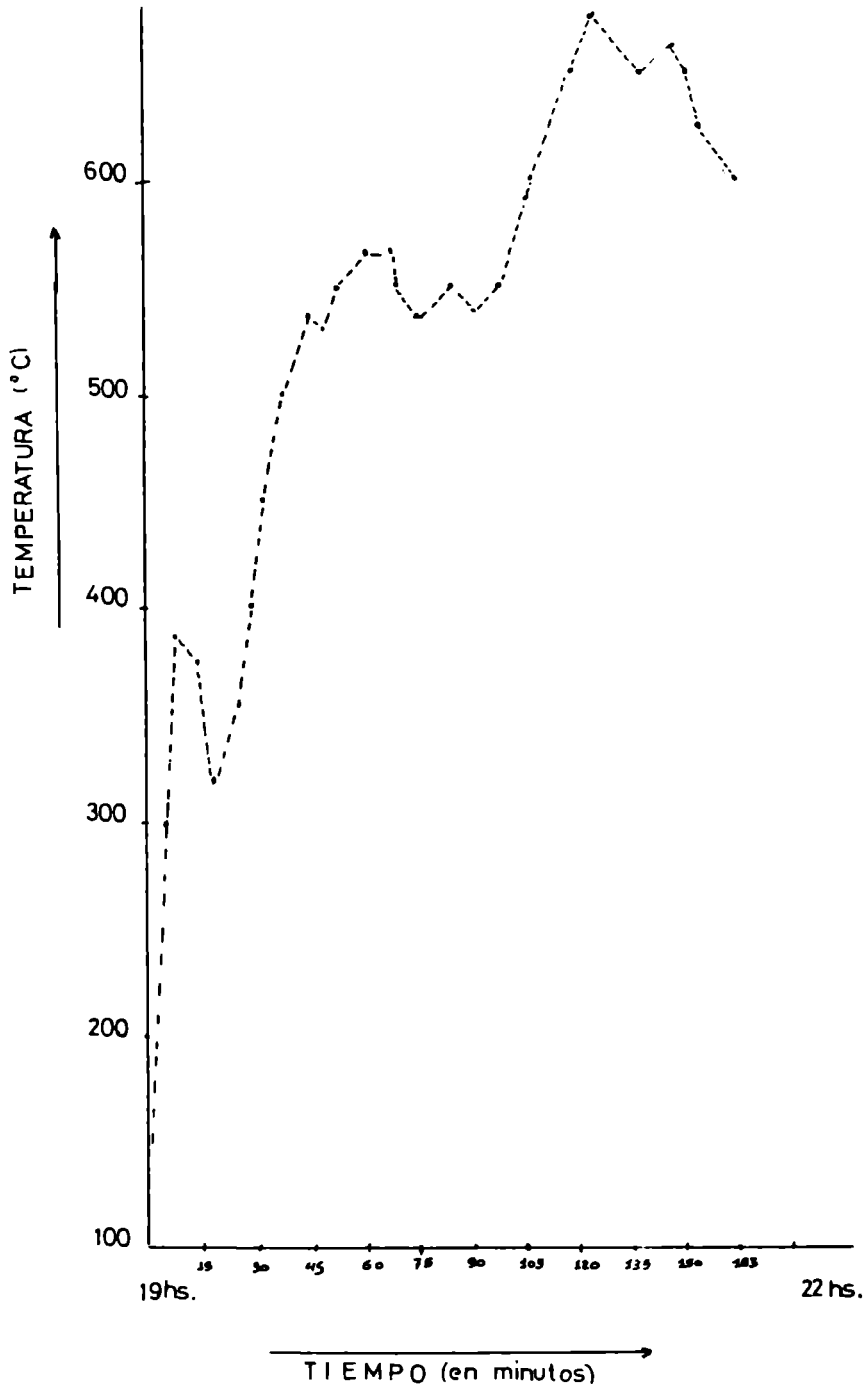


Fig. 5. Registro de temperaturas de cocción de dos piezas cerámicas. Alfarera F. Martínez, Inti-Cancha.

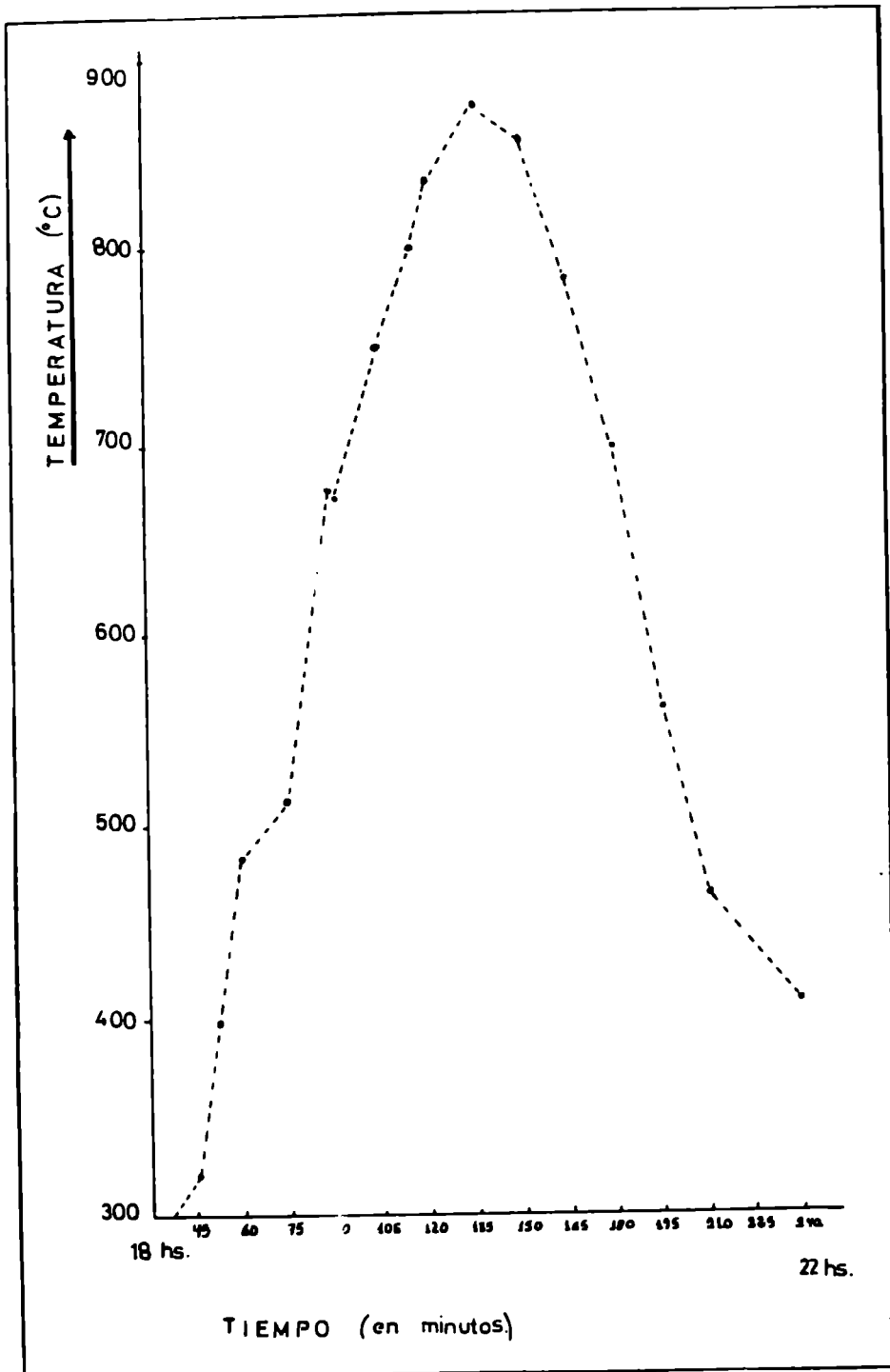


Fig. 6. Registro de temperaturas de cocción de dos piezas cerámicas. Alfarera J. Pérez Charabozo.